

炎性刺激剂对小鼠腹腔巨噬细胞 NF-κB 的诱导

郭 颖, 胡玉芳, 程桂芳*

(中国医学科学院、中国协和医科大学药物研究所, 北京 100050)

摘要 目的: 建立炎性刺激剂诱导细胞核因子 κB(Nuclear factor κB, NF-κB)的模型, 研究传统非甾体抗炎药阿斯匹林(aspirin)作用机理。方法: 用脂多糖(LPS)和佛波酯(PMA)刺激小鼠腹腔巨噬细胞, 用电泳迁移率改变检测法(electrophoretic mobility shift assay, EMSA)检测。结果: LPS $1 \mu\text{g} \cdot \text{mL}^{-1}$ 及 $3 \mu\text{g} \cdot \text{mL}^{-1}$, PMA $2 \text{ng} \cdot \text{mL}^{-1}$ 均能诱导细胞核内 NF-κB 的含量。阿斯匹林 $10^{-5} \text{ mol} \cdot \text{L}^{-1}$ 可以显著抑制 LPS($1 \mu\text{g} \cdot \text{mL}^{-1}$) 和 PMA(PMA $2 \text{ng} \cdot \text{mL}^{-1}$) 对细胞核内 NF-κB 的活化。结论: 所建立的以 LPS 和 PMA 为刺激剂, 诱导细胞核内 NF-κB 的模型, 可用于非甾体抗炎药的抗炎机理的研究。

关键词 细胞核因子 κB; 电泳迁移率改变检测法; 脂多糖; 佛波酯

NF-κB 作为小鼠 B 淋巴细胞 κ 轻链基因表达的一种调节因子始被确认, 而后在多种不同的细胞中也均观察到其活性。在未被激活的细胞中, NF-κB 存在于胞浆中, 并且与抑制性 κBa(IκBa) 和抑制性 κBβ(IκBβ) 结合, 这种结合可阻止 NF-κB 进入核内。当细胞被激活时, 特异性的激酶将 IκB 磷酸化, 使其快速被蛋白小体降解, 从 IκB 释放下来的 NF-κB 可进入细胞核, 然后激活在靶基因启动子区域的特殊序列上^[1]。NF-κB 不仅参与调节免疫和炎症反应过程中多种基因的表达, 而且还经常与其它转录因子共同作用。很多刺激剂(包括细胞因子、蛋白激酶 C 激活剂、病毒和氧化剂等) 均可以激活 NF-κB。本文基于此论点, 建立脂多糖(lipopolysaccharide, LPS) 和佛波酯(phorbol 12-myristate, 13-acetate, PMA) 诱导小鼠腹腔巨噬细胞 NF-κB 的模型, 为寻找抗炎免疫药物提供新靶点。

材料和方法

动物 雄性体重 $16 \sim 20 \text{ g}$ C₅₇BL/6 小鼠, 由中国医学科学院实验动物中心提供。

药品及仪器 脂多糖(E coli Serotype 055: B5)、佛波酯、亚精胺(spermidine) 和苯甲基磺酰氟(phenylmethyl sulfonyl fluoride, PMSF) 均为 Sigma

产品; 二硫苏糖醇(dithiothreitol, DTT) 为 Fisher Biotech 公司产品; Poly(dI-dC)-Poly(dI-dC) 和 T₄ 激酶(T₄ polynucleotide kinase) 为 Pharmacia 公司产品; [γ -³²P] ATP 为北京亚辉公司产品; 疏基乙醇酸钠(brewer thioglycollate medium) 为 Difco 公司产品; RPMI 1640 及新生牛血清为 Gibco 产品; NF-κB 探针 5'-AGTTGAGGGACTTCCCAGGC-3', 3'-TCAACTCCCCTGAAAGGGTCCG-5' 购于 Promega 公司。突变序列 5'-AGTTGAGGCGACTTCCCAGGC-3', 3'-TCAACTCCGCTGAAAGGGTCCG-5' 及 Pestle B 为美国宋新生教授惠赠。

小鼠腹腔巨噬细胞的制备及培养 按文献^[2]方法, 小鼠 ip 4% 疏基乙醇酸钠, 每只 1 mL , $3 \sim 4 \text{ d}$ 后断头处死, 在无菌条件下用磷酸缓冲液(PBS)($\text{mmol} \cdot \text{L}^{-1}$: NaCl 137.0; KCl 2.7; Na₂HPO₄·H₂O 9.8; KH₂PO₄ 1.5, pH 7.3) 洗出腹腔巨噬细胞, 再以 PBS 洗涤细胞两次, 细胞计数, 用 RPMI 1640 培养液调整细胞浓度为 5×10^6 细胞 $\cdot \text{mL}^{-1}$, 每只 60 mm 的培养皿中加入 3 mL , 在 CO₂ 培养箱内培养 2 h 后, 弃去上清液, 加入含 10% 新生牛血清(NBS) 及各种刺激剂的 RPMI 1640 3 mL 培养 1 h。

细胞核蛋白的提取^[3] 将培养皿上的细胞刮下, $300 \times g$ 离心 5 min, 用 PBS 洗两次, 加入缓冲液 A($\text{mmol} \cdot \text{L}^{-1}$: HEPES 10.0; MgCl₂ 1.5; KCl 10.0; DTT 0.05) 7 mL, 用 Pestle B 匀浆 15 次, $800 \times g$ 离心 5 min, 弃去上清液。加入缓冲液 C($\text{mmol} \cdot \text{L}^{-1}$: HEPES 20.0; 甘油 25%(*v/v*); NaCl 420.0;

收稿日期: 1998-11-26

基金项目: 国家自然科学基金资助项目(3980907)

* 联系人 Tel: (010) 63165192, Fax: (010) 63017757

郭 颖 女, 26 岁, 博士研究生

程桂芳 女, 60 岁, 研究员, 博士生导师

$MgCl_2$ 1.5; EDTA 0.2; PMSF 0.5; DTT 0.5) 0.5 mL, 冰浴中振摇 30 min, 4°C 12 000 × g 离心 30 min, 吸取上清液。向上清液中加入 1/2 体积的饱和硫酸铵溶液, 4°C 放置 30 min, 4°C 12 000 × g 离心 15 min。弃去上清液, 加入缓冲液 W ($mmol \cdot L^{-1}$: HEPES 20.0; KCl 20.0; $MgCl_2$ 1.0; DTT 2.0; PMSF 1.0; 甘油 17% (*v/v*)) 100 μ L, 上 Sephadex G-25 柱(6 cm × 6 mm), 得到核提取物。Lowry 法测定蛋白浓度。

寡核苷酸链的标记^[4] 向小管中加入 NF-**KB** 探针($1.75 pmol \cdot \mu L^{-1}$) 2.0 μ L, 10× kinase buffer ($mmol \cdot L^{-1}$: Tris 500; $MgCl_2$ 100; DTT 50; 亚精胺 1.0; EDTA 1.0) 1.0 μ L, H_2O 4.0 μ L, [$\gamma^{32}P$] ATP 2.0 μ L, T₄ 激酶($5 \sim 10 u \cdot \mu L^{-1}$) 1.0 μ L, 37°C 温育 10 min, 加入 0.5 mol·L⁻¹ EDTA 1.0 μ L, 加水 89 μ L, 上 Sephadex G-25 柱, 收集水溶液, -20°C 保存。

核蛋白与 DNA 探针的结合及电泳^[5] 向小管

中加入 2× buffer ($mmol \cdot L^{-1}$: Tris 40.0; $MgCl_2$ 10.0; KCl 200.0; EDTA 2.0; DTT 2.0; BSA 2 $mg \cdot mL^{-1}$; 甘油 14% (*v/v*)) 10 μ L, Poly(dI-dC)-Poly(dI-dC) 1.0 μ g, 加水至 18 μ L, 加入核提取物 1 ~ 5 μ L, 混匀, 室温放置 10 min。向每份样品中加入 ^{32}P -DNA 探针 2 μ L, 混匀, 电泳(8% 聚丙烯酰胺凝胶电泳)。干胶后进行放射自显影。

结 果

1 不同浓度 LPS 对小鼠腹腔巨噬细胞 NF-**KB** 的影响

结果如图 1 所示, 条带 3 及条带 4 为 NF-**KB** 与寡核苷酸链结合条带, 提示本方法是特异的。实验结果表明 LPS($1 \mu g \cdot mL^{-1}$, $3 \mu g \cdot mL^{-1}$) 均可激活细胞核内 NF-**KB**, 且 $3 \mu g \cdot mL^{-1}$ 的活化程度比 $1 \mu g \cdot mL^{-1}$ 强。

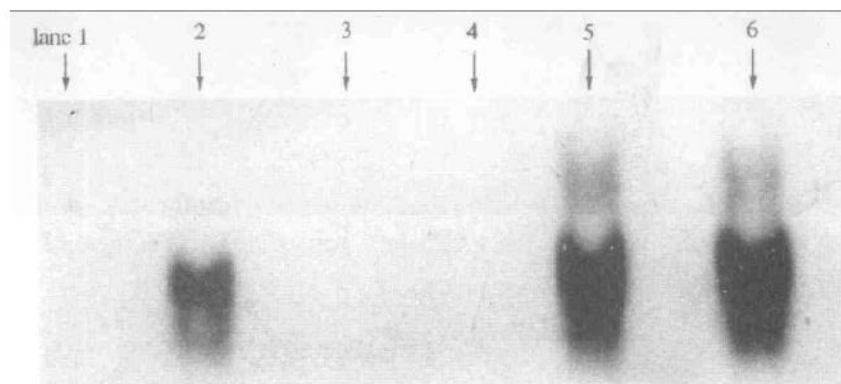


Fig 1 Effects of lipopolysaccharide(LPS) on the activities of NF-**KB** in inducible peritoneal macrophages from the mouse. 1. Probe alone; 2. Control; 3. **KB**+ comp*; 4. Mut**+ comp; 5. LPS $1 \mu g \cdot mL^{-1}$; 6. LPS $3 \mu g \cdot mL^{-1}$. Nuclear extracts were prepared from inducible peritoneal macrophages from the mouse treated for 60 min with indicated amount of LPS and incubated with ^{32}P -labeled oligonucleotides encompassing NF-**KB** or mutational(mut) consensus motifs followed by analysis with EMSA. In lanes 3 and 4, a 100-fold molar excess of unlabeled specific oligonucleotide was added to the binding reactions. * Comp= competitive consensus; ** Mut = mutational consensus.

2 不同浓度 PMA 对小鼠腹腔巨噬细胞 NF-**KB** 的影响

实验结果表明 PMA $1 ng \cdot mL^{-1}$ 不能显著激活细胞核内 NF-**KB**, 而 $2 ng \cdot mL^{-1}$ 可显著活化 NF-**KB** (图 2)。

3 阿斯匹林对 LPS 激活的小鼠腹腔巨噬细胞中 NF-**KB** 的影响

阿斯匹林与细胞温育 15 min 后, 再用 LPS 刺激

1 h。

实验结果表明阿斯匹林($10^{-7} mol \cdot L^{-1}$, $10^{-6} mol \cdot L^{-1}$, $10^{-5} mol \cdot L^{-1}$) 均可以显著地抑制 LPS 活化的 NF-**KB** 的含量, 并且有一定的量效关系(图 3)。

4 阿斯匹林对 PMA 激活的小鼠腹腔巨噬细胞中 NF-**KB** 的影响

实验结果表明阿斯匹林($10^{-5} mol \cdot L^{-1}$) 可以显著地抑制 PMA 活化的 NF-**KB** 的含量(图 4)。

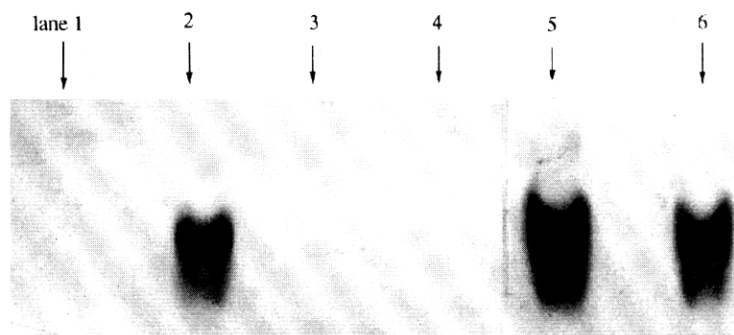


Fig 2 Effects of PMA (phorbol 12-myristate, 13-acetate) on the activities of NF- κ B in inducible peritoneal macrophages from the mouse. 1. Probe alone; 2. Control; 3. κ B + comp; 4. Mut + comp; 5. PMA 2 ng·mL⁻¹; 6. PMA 1 ng·mL⁻¹. Nuclear extracts were prepared from inducible peritoneal macrophages from the mouse treated for 60 min with indicated amount of PMA and incubated with ³²P-labeled oligonucleotides encompassing NF- κ B or mutational consensus motifs followed by analysis with EMSA. In lanes 3 and 4, a 100-fold molar excess of unlabeled specific oligonucleotide was added to the binding reactions.

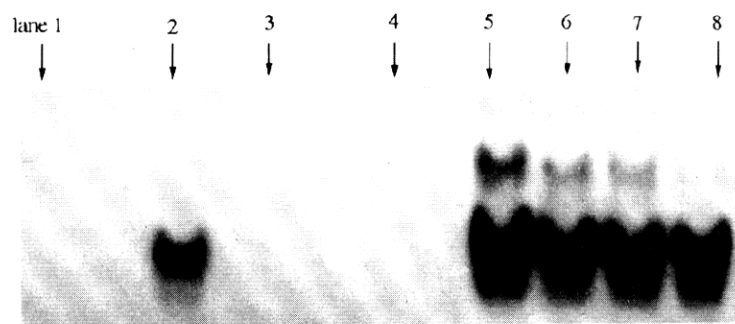


Fig 3 Effects of aspirin on LPS(1 μ g·mL⁻¹)-induced NF- κ B activation in inducible peritoneal macrophages from mouse. 1. Probe alone; 2. Control; 3. κ B + comp; 4. Mut + comp; 5. LPS 1 μ g·mL⁻¹; 6. Aspirin 10⁻⁷ mol·L⁻¹ + LPS 1 μ g·mL⁻¹; 7. Aspirin 10⁻⁶ mol·L⁻¹ + LPS 1 μ g·mL⁻¹, 8. Aspirin 10⁻⁵ mol·L⁻¹ + LPS 1 μ g·mL⁻¹.

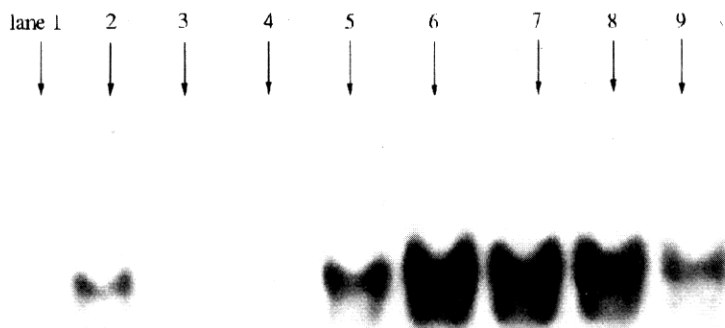


Fig 4 Effects of aspirin on PMA(2 ng·mL⁻¹)-induced NF- κ B activation in inducible peritoneal macrophages from mouse. 1. Probe alone; 2. Control; 3. κ B + comp; 4. Mut + comp; 5. Control; 6. PMA 2 ng·mL⁻¹; 7. Aspirin 10⁻⁷ mol·L⁻¹ + PMA 2 ng·mL⁻¹; 8. Aspirin 10⁻⁶ mol·L⁻¹ + PMA 2 ng·mL⁻¹; 9. Aspirin 10⁻⁵ mol·L⁻¹ + PMA 2 ng·mL⁻¹.

讨 论

用电泳迁移率改变法检测细胞核内 NF- κ B 含

量灵敏度高,特异性强。本实验选择了两种刺激剂: LPS 和 PMA,它们分别具有 B 细胞激活剂和蛋白激酶 C 的活化作用,用这两种刺激剂可以研究在两种

不同途径下对 NF-κB 的激活作用。本实验观察到: LPS 在 $1\sim 3 \mu\text{g} \cdot \text{mL}^{-1}$ 的浓度下可诱导小鼠腹腔巨噬细胞中 NF-κB 的含量; 而 PMA 在 $2 \text{ ng} \cdot \text{mL}^{-1}$ 的浓度下使 NF-κB 的含量显著升高。若 LPS 和 PMA 有效活化强度以克分子比较, 则分别为 $1.6 \times 10^{-8} \text{ mol} \cdot \text{L}^{-1}$ 和 $3 \times 10^{-9} \text{ mol} \cdot \text{L}^{-1}$ (两者 Mr 分别为 617 和 130 000)。

阿斯匹林作为传统的抗炎药物, 其机理备受关注。本文发现阿斯匹林可从不同途径抑制激活的 NF-κB, 为进一步阐明阿斯匹林的抗炎作用的分子机理提供了实验依据。

致谢 本方法的建立得到宋新生教授(Department of Internal Medicine, University of Virginia, USA)的指导和帮助。

References

- Baeuerle PA, Baltimore D. NF-κB: ten years after. *Cell*, 1996, **87**: 13
- Xu SY(徐叔云), Bian RL(卞如濂), Chen X(陈修), eds. *Experimental Methods in Pharmacology* (药理实验方法学). 2nd. Edition. Beijing: People's Health Publishing House, 1991. 1235
- Digman JD, Lebovitz RM, Roeder RG. Accurate transcription initiation by RNA polymerase II in a soluble extract from isolated mammalian nuclei. *Nucleic Acids Res*, 1983, **11**: 1475
- Lu SD(卢圣栋), ed. *Modern Molecular Biology* (现代分子生物学). Beijing: Heigher Educational Publishing House, 1993. 355
- Wang P, Wumarin P, Siegel I, et al. Interleukin(IL)-10 inhibits nuclear factor κB (NF-κB) activation in human monocytes. *J Biol Chem*, 1995, **270**: 9558

INDUCTION OF NF-κB IN MOUSE PERITONEAL MACROPHAGES BY INFLAMMATORY IRRITANTS

Guo Ying(Guo Y), Hu Yufang(Hu YF) and Cheng Guifang(Cheng GF)

(Institute of Materia Medica, Chinese Academy of Medical Sciences and Peking Union Medical College, Beijing 100050)

ABSTRACT **AIM:** To establish the model of determining nuclear factor κB(NF-κB) which is stimulated by different inflammatory irritants in inducible peritoneal macrophages from mouse and investigate the inhibitory effect of aspirin on NF-κB activation using this model. **METHODS:** Lipopolysaccharide(LPS) and phorbol 12-myristate, 13-acetate(PMA) were used as irritants. Electrophoretic mobility shift assay (EMSA) was used as the determination method. **RESULTS:** LPS($\mu\text{g} \cdot \text{mL}^{-1}$, $3 \mu\text{g} \cdot \text{mL}^{-1}$) and PMA ($1 \text{ ng} \cdot \text{mL}^{-1}$) was shown to increase the content of NF-κB in inducible peritoneal macrophages from the mouse. After the macrophages were treated with aspirin ($10^{-7} \text{ mol} \cdot \text{L}^{-1}$, $10^{-6} \text{ mol} \cdot \text{L}^{-1}$, $10^{-5} \text{ mol} \cdot \text{L}^{-1}$), the increase was inhibited. **CONCLUSION:** The model of determining NF-κB stimulated by LPS and PMA can be used in researching mechanism of non-steroidal anti-inflammatory drugs.

KEY WORDS nuclear factor-κB; electrophoretic mobility shift assay; lipopolysaccharide; phorbol 12-myristate, 13-acetate